



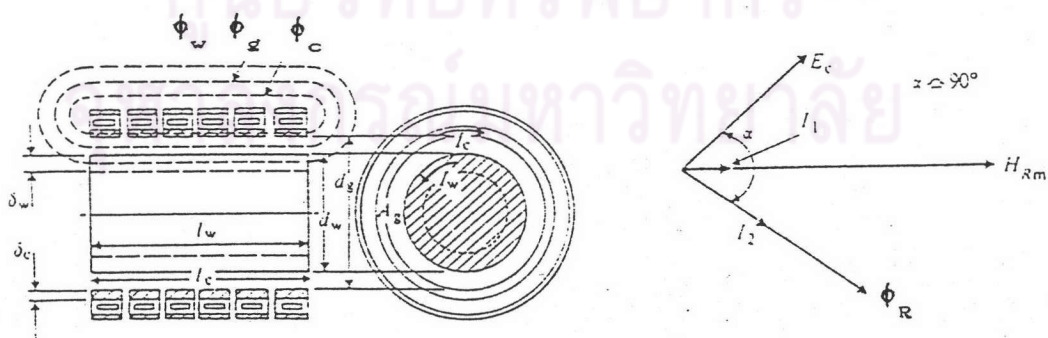
### บทที่ 3

#### วงจรสมมูลของขดลวดเหนี่ยวนำและการออกแบบ

เนื่องจากขดลวดเหนี่ยวนำมีความสัมพันธ์ที่ใกล้เคียงกับหม้อแปลง โดยที่ตัวขดลวดเหนี่ยวนำเองเป็นเสมือนขดปฐมภูมิ และชิ้นงานเป็นเสมือนขดทุติยภูมิที่มีจำนวนรอบเท่ากับหนึ่ง และสนามแม่เหล็กจะเหนี่ยวนำจากขดปฐมภูมิไปยังขดทุติยภูมิโดยผ่านแกนอากาศ (Air Core) จากความสัมพันธ์นี้ทำให้สามารถแทนขดลวดเหนี่ยวนำกับชิ้นงานด้วยความต้านทาน และความเหนี่ยวนำได้เหมือนกับวงจรสมมูลของหม้อแปลง ซึ่งวงจรสมมูลที่ได้มานี้จะเป็นประโยชน์ในการวิเคราะห์วงจรไฟฟ้าเป็นอย่างมาก สำหรับการวิเคราะห์ขั้นต้นนี้จะพิจารณาตามหนังสืออ้างอิง (John Davies and Peter Simpson, 1979)

#### 3.1 การวิเคราะห์หาวงจรสมมูลของขดลวดเหนี่ยวนำ

ในหัวข้อนี้จะวิเคราะห์ในเชิงอุดมคติ กล่าวคือ พิจารณาในกรณีที่ขดลวดเหนี่ยวนำและชิ้นงานมีความยาวมากๆ จนทำให้ฟลักซ์ของสนามแม่เหล็กที่คล้องผ่านมีการกระจายอย่างสม่ำเสมอ จากรูปที่ 3.1 ให้ความเข้มสนามแม่เหล็กที่ผิวของชิ้นงานคือ  $H_{Rm}$  และฟลักซ์ของสนามแม่เหล็กที่คล้องผ่านระบบประกอบไปด้วย 3 ส่วน คือ



รูปที่ 3.1 ฟลักซ์สนามแม่เหล็กที่คล้องผ่านชิ้นงานกับขดลวดเหนี่ยวนำ และเฟสเซอร์ไดอะแกรมของระบบ

- 1  $\phi_w$  คือ ฟลักซ์สนามแม่เหล็กที่คล่องผ่านชั้นงาน
- 2  $\phi_a$  คือ ฟลักซ์สนามแม่เหล็กที่คล่องผ่านช่องอากาศ
- 3  $\phi_c$  คือ ฟลักซ์สนามแม่เหล็กที่ผ่านผิวของขดลวดเหนี่ยวนำ

จากการวิเคราะห์ในบทที่ 2 จะได้กำลังสูญเสียในชั้นงาน  $P_w$  (วัตต์) และฟลักซ์สนามแม่เหล็กที่คล่องผ่านชั้นงาน  $\phi_{wm}$  (เวเบอร์) ดังนี้

$$P_w = \mu \pi f H_{Rm}^2 (l_w A_w) p \quad (2.35)$$

และ 
$$\phi_{wm} = \mu H_{Rm} A_w (q - jp) \quad (2.30)$$

โดยที่  $H_{Rm}$  คือ ความเข้มสนามแม่เหล็กที่ผิวของชั้นงาน (ค่ายอด) ( $A_m^{-1}$ )

$\phi_{wm}$  คือ ฟลักซ์สนามแม่เหล็กรวมที่คล่องผ่านชั้นงาน (ค่ายอด) (Wb)

$l_w$  คือ ความยาวของชั้นงานที่ถูกเหนี่ยวนำ (m)

$A_w$  คือ พื้นที่หน้าตัดของชั้นงาน ( $m^2$ )

จากหัวข้อ 2.2.2 และรูปที่ 2.15 ถ้า  $\frac{d}{\delta} > 8$  แล้ว

$$p = \frac{2}{(1.23 + d/\delta)} \quad (3.1)$$

$$q = \frac{2}{d/\delta} \quad (3.2)$$

$\phi_a$  คือ ฟลักซ์สนามแม่เหล็กในช่องอากาศ โดยปกติแล้วจะมีค่าค่อนข้างใหญ่ในขณะที่ไม่มีการเหนี่ยวนำในขดลวดเหนี่ยวนำ แต่จะมีขนาดเล็กเมื่อมีชั้นงานอยู่ในขดลวดเหนี่ยวนำ เพราะพื้นที่หน้าตัดที่ฟลักซ์คล่องผ่านมีค่าลดลง ช่องอากาศนี้มีไว้เพื่อเป็นระยะห่างทางเชิงกล เพื่อให้ชั้นงานป้อนเข้าสู่ขดลวดเหนี่ยวนำได้สะดวก และยังช่วยเป็นฉนวนความร้อนระหว่างชั้นงานกับตัวขดลวดเหนี่ยวนำเองด้วย ฟลักซ์สนามแม่เหล็กส่วนนี้ จะทำให้ตัวประกอบกำลังของขดลวดเหนี่ยวนำต่ำลง

$$\phi_{gm} = \mu_o H_{Rm} A_g \quad (3.3)$$

โดยที่  $A_g$  คือ พื้นที่ฟลักซ์สนามแม่เหล็กค้ำองผ่านอากาศ

$\phi_c$  คือ ฟลักซ์สนามแม่เหล็กที่ค้ำองผ่านตัวขดลวดเอง ตัวขดลวดเหนี่ยวนำเองก็จะเกิดปรากฏการณ์ผิวเช่นเดียวกับที่ขั้วงาน เพียงแต่วัสดุเป็นทองแดงซึ่งมีคุณสมบัติไม่เป็นแม่เหล็ก จากการวิเคราะห์หาค่าฟลักซ์สนามแม่เหล็กผลรวมต่อหนึ่งหน่วยความยาว ในบทที่ 2 ตามสมการที่ (2.20) นำมาจัดรูปใหม่ได้ดังนี้

$$\phi = \frac{\mu_o H_{om}}{\sqrt{2\alpha}} \frac{1-j}{\sqrt{2}} = \frac{\mu_o H_{om} \delta_c}{2} (1-j)$$

โดยที่  $\delta_c$  คือ ความลึกผิวที่เกิดในขดลวด

เนื่องจากความยาวที่  $\phi_c$  ค้ำองผ่าน ก็คือ เส้นรอบวงด้านในของขดลวดเหนี่ยวนำ ดังนั้นปริมาณฟลักซ์สนามแม่เหล็กที่ค้ำองผ่านตัวขดลวดจึงเป็น

$$\phi_{cm} = k_r \frac{\mu_o \delta_c (\pi d_c)}{2} H_{om} (1-j) \quad (3.4)$$

โดยที่  $k_r$  คือ Correction Factor อันเนื่องมาจากตัวขดลวด มีระยะห่างระหว่างรอบซึ่งปกติจะมีค่าอยู่ระหว่าง 1 ถึง 1.5 และโดยทั่วไปจะใช้ค่า 1.15 ( สำหรับขดลวดเหนี่ยวนำที่มีรอบเดียว  $k_r$  จะเป็น 1) และ  $d_c$  คือ เส้นผ่านศูนย์กลางภายในของขดลวดเหนี่ยวนำ

ฟลักซ์ของสนามแม่เหล็กผลรวมก็คือ ผลรวมขององค์ประกอบฟลักซ์ทั้ง 3 ตัว

$$\phi_{om} = \phi_{wm} + \phi_{gm} + \phi_{cm}$$

หรือถ้าคิดเป็นค่า rms จะได้  $\phi_o = \phi_w + \phi_g + \phi_c$

แทนค่าแล้วจัดรูปจะได้

$$\phi_{om} = \mu_o H_{om} \left[ (A_g + \mu_r q A_w + k_r \frac{\pi d_c \delta_c}{2}) - j (\mu_r p A_w + k_r \frac{\pi d_c \delta_c}{2}) \right] \quad (3.5)$$

จากสมการของ m.m.f. จะได้

$$H_{om} = \frac{\sqrt{2} I_c N_c}{l_c} \quad (3.6)$$

ให้  $E_c$  เป็นค่า อาร์เอ็มเอสของแรงดันคร่อมขดลวด ดังนี้

$$E_c = j \frac{2\pi}{\sqrt{2}} f N_c \phi_{om} \quad (3.7)$$

แทนค่าสมการ (3.5) และ (3.6) ในสมการที่ (3.7)

$$E_c = \frac{2\pi f \mu_0}{l_c} N_c^2 I_c \left[ (\mu_r p A_w + \frac{k_r \pi d_c \delta_c}{2}) + j (A_g + \mu_r q A_w + \frac{k_r \pi d_c \delta_c}{2}) \right] \quad (3.8)$$

จากสมมติฐานที่ว่าฟลักซ์สนามแม่เหล็กที่คล้องผ่านมีการกระจายอย่างสม่ำเสมอ และเป็นผลที่มาจากความเข้มสนามแม่เหล็กเดียวกัน ทำให้สามารถแทนสมการที่ (3.8) ได้ด้วยวงจรสมมูลทางแม่เหล็กซึ่งจะเป็นแบบขนาน ดังรูปที่ 3.2 และเมื่อพิจารณาเป็นวงจรสมมูลทางไฟฟ้า จะอยู่ในรูปความต้านทานกับความเหนี่ยวนำต่ออนุกรมกัน ดังรูปที่ 3.3 โดยส่วนที่เป็นความต้านทานจะมาจากชิ้นงานและตัวขดลวด และส่วนที่เป็นตัวเหนี่ยวนำจะมาจากชิ้นงาน ตัวขดลวด และส่วนที่เป็นช่องว่างอากาศ ซึ่งเขียนในรูปของอิมพีแดนซ์รวมได้ดังนี้

$$Z = (R_w + R_c) + j(X_g + X_w + X_c) \quad (3.9)$$

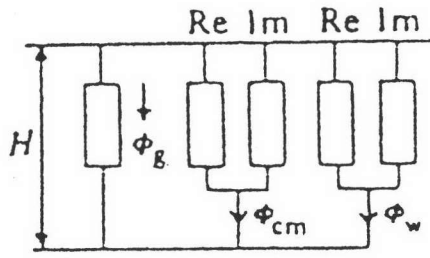
โดยที่ ความต้านทานจากชิ้นงาน  $R_w = K(\mu_r p A_w)$  โอห์ม (3.10)

ความต้านทานจากขดลวด  $R_c = K(\frac{k_r \pi d_c \delta_c}{2})$  โอห์ม (3.11)

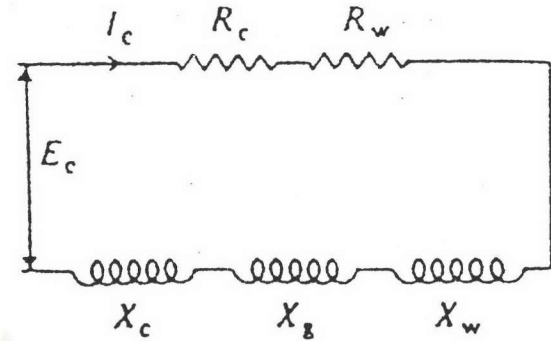
รีแอคแตนซ์จากช่องอากาศ  $X_g = K(A_g)$  โอห์ม (3.12)

รีแอคแตนซ์จากชิ้นงาน  $X_w = K(\mu_r q A_w)$  โอห์ม (3.13)

รีแอคแตนซ์จากขดลวด  $X_c = K(\frac{k_r \pi d_c \delta_c}{2})$  โอห์ม (3.14)



รูปที่ 3.2 วงจรสมมูลทางแม่เหล็ก



รูปที่ 3.3 วงจรสมมูลทางไฟฟ้า

โดยที่ 
$$K = 2\pi f \mu_0 \left[ \frac{N^2}{l_c} \right] \quad \text{โอห์ม/เมตร}^2 \quad (3.15)$$

ค่าเหล่านี้สามารถที่จะนำมาคำนวณคุณสมบัติของขดลวดเหนี่ยวนำที่สำคัญ ได้ดังนี้

ประสิทธิภาพของขดลวดเหนี่ยวนำ 
$$\eta = \frac{R_w}{R_c + R_w} \quad (3.16)$$

ตัวประกอบกำลังของขดลวดเหนี่ยวนำ 
$$\cos \theta = \frac{R_w + R_c}{Z} \quad (3.17)$$

โดยที่ 
$$Z^2 = (R_c + R_w)^2 + (X_B + X_w + X_c)^2 \quad (3.18)$$

กำลังงานที่ขดลวดเหนี่ยวนำ 
$$P_c = \frac{P_w}{\eta} \quad (3.19)$$

กำลังปรากฏที่ขดลวดเหนี่ยวนำ Coil VA 
$$= \frac{P}{\cos \theta} = I_c^2 Z \quad (3.20)$$

แรงดันต่อรอบที่ขดลวด 
$$\frac{E_c}{N_c} = \frac{(\text{Coil VA})}{(\text{Total ampere-turns})} \quad (3.21)$$

โดยที่ Coil ampere turns 
$$= I_c N_c = H_o l_c \quad (3.22)$$

และ  $I_c$  และ  $E_c$  เป็นค่า r.m.s

จากที่กล่าวข้างต้น ถ้าพิจารณาโดยละเอียด จะพบว่า

$$R_c = \frac{\pi^2 N_c^2}{l_c} \sqrt{\frac{\mu_o \rho_c f}{\pi}} k_r d_c \quad (3.23)$$

$$R_w = \frac{4\pi N_c^2}{l_c} \sqrt{\frac{\mu_o \mu_r \rho_w f}{\pi}} \frac{A_w}{d_w} \quad (3.24)$$

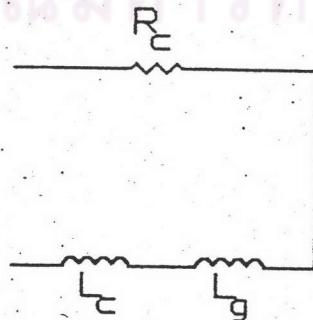
$$L_c = \frac{N_c^2}{l_c} \sqrt{\frac{\mu_o \rho_c}{\pi f}} \frac{k_r \pi d_c}{2} \quad (3.25)$$

$$L_w = \frac{2N_c^2}{l_c} \sqrt{\frac{\mu_r \mu_o \rho_w}{\pi f}} \frac{A_w}{d_w} \quad (3.26)$$

$$L_g = N_c^2 \frac{\mu_o A_g}{l_c} \quad (3.27)$$

จากค่าพารามิเตอร์ต่างๆของขดลวดเหนี่ยวนำ และชิ้นงานที่ได้พบว่าขึ้นอยู่กับลักษณะขนาดของทั้งชิ้นงาน และขดลวดรวมทั้งจำนวนรอบของขดลวดด้วย และถ้าพิจารณาให้ชิ้นงานและขดลวดเหนี่ยวนำคงที่ ความต้านทานของชิ้นงาน และขดลวดจะแปรตาม รากที่สองของความถี่ รากที่สองของสภาพความต้านทาน และรากที่สองของความซึมซาบแม่เหล็ก สำหรับกรณีความเหนี่ยวนำของชิ้นงานและขดลวด จะแปรตามรากที่สองของสภาพความต้านทาน รากที่สองของความซึมซาบแม่เหล็ก แต่จะแปรผกผันกับรากที่สองของความถี่ ส่วนกรณีความเหนี่ยวนำเนื่องจากช่องว่างอากาศพบว่า จะขึ้นกับลักษณะของขดลวดเหนี่ยวนำ และพื้นที่หน้าตัดของช่องว่างอากาศ แต่จะไม่ขึ้นกับความถี่เลย

จากที่กล่าวมาข้างต้น เป็นการพิจารณาขดลวดเหนี่ยวนำไปพร้อมกับชิ้นงาน กล่าวคือพิจารณาตอนมีโหลด แต่สำหรับกรณีไม่มีชิ้นงานในขดลวด หรือตอนไม่มีโหลด (no load) วงจรสมมูลทางไฟฟ้าก็ยังเป็นลักษณะอนุกรมเหมือนเดิม แต่ความต้านทานจะมีเฉพาะความต้านทานของขดลวด ( $R_c$ ) และความเหนี่ยวนำจะมีเฉพาะความเหนี่ยวนำเนื่องจากขดลวด ( $L_c$ )



รูปที่ 3.4 วงจรสมมูลทางไฟฟ้าของขดลวดเหนี่ยวนำ (ไม่มีโหลด)

และช่องว่างอากาศ ( $L_a$ ) ดังรูปที่ 3.4 โดยค่า  $R_c$  และ  $L_c$  จะมีค่าเท่าเดิม แต่  $L_a$  จะมีค่าเปลี่ยนไปในทางที่เพิ่มขึ้น ทั้งนี้เพราะพื้นที่หน้าตัดของส่วนที่เป็นช่องว่างอากาศมีค่ามากขึ้น ซึ่งจะเท่ากับพื้นที่หน้าตัดภายในของขดลวด ดังแสดงไว้ในสมการที่ (3.28)

$$L_{an} = \frac{N_c^2 \mu_0}{l_c} \left( \frac{\pi d_c^2}{4} \right) \quad (3.28)$$

### 3.2 การวิเคราะห์เพื่อแก้ไขให้วงจรมีค่าใกล้เคียงกับค่าจริง

จากหัวข้อที่แล้ว การวิเคราะห์วงจรสมมูลของขดลวดเหนี่ยวนำอยู่บนสมมติฐานที่ว่าขดลวดเหนี่ยวนำ และชิ้นงานมีความยาวมากๆ จนทำให้ฟลักซ์สนามแม่เหล็กที่คล้องผ่านมีการกระจายอย่างสม่ำเสมอตลอดช่วงความยาวของขดลวดเหนี่ยวนำแต่ความเป็นจริงแล้วสมมติฐานดังกล่าวไม่ได้เป็นจริงหรือใกล้เคียงความจริงทุกกรณี โดยเฉพาะกรณีที่ขดลวดมีจำนวนรอบต่ำและมีความยาวไม่มาก วงจรสมมูลที่ใช้ในหัวข้อที่แล้วจะมีความคลาดเคลื่อนสูงจึงได้พยายามทดลองวัดความเหนี่ยวนำของขดลวดที่มีเส้นผ่านศูนย์กลางเท่ากัน แต่มีจำนวนรอบและความยาวของขดลวดต่างกันโดยวัดที่ความถี่ต่างๆ ซึ่งได้ผลดังตารางที่ 3.1 เพื่อจะได้นำมาเปรียบเทียบกับค่าความเหนี่ยวนำที่คำนวณตามวงจรสมมูล ในรูปที่ 3.3 หรือตามสมการที่ (3.25) และ (3.28) ซึ่งแสดงค่าที่คำนวณได้ไว้ในตารางที่ 3.2 ตามลำดับ

จากหนังสืออ้างอิง (Kjeld Thorborg, 1985) ได้กล่าวถึงการคำนวณค่าความเหนี่ยวนำที่คล้องผ่านอากาศของขดลวดสร้างสนามแม่เหล็กที่มีจำนวนรอบเป็น  $N_c$  และมีความหนาของขดลวดเท่ากับ  $c$  ความยาวของขดลวดเท่ากับ  $l_c$  และเส้นผ่านศูนย์กลางภายในและภายนอกเท่ากับ  $d_1$  และ  $d_0$  ตามลำดับ ซึ่งแสดงในรูปที่ 3.5 โดยที่สูตรที่ใช้คำนวณค่าความเหนี่ยวนำนั้นถือได้ว่าเป็นสูตร empirical ที่มีการปรับปรุงให้ค่าจากการคำนวณใกล้เคียงค่าที่วัดจริงมากขึ้น ดังแสดงในสมการที่ (3.29)

$$L_a = \lambda d N_c^2 \quad \text{หน่วยเป็น } \mu\text{H} \quad (3.29)$$

$$\text{โดยที่} \quad \lambda = \frac{0.1\pi^2}{\{0.45 + r + \beta + 2r\beta(r + l_c)/[3(r+2)]\}}$$

$$r = \frac{l_c}{d} \quad \beta = \frac{c}{d} \quad d = [d_0 + d_1]/2$$

ความถี่ที่ใช้ ขดลวด เหนี่ยวนำ แบบต่างๆ วัด (Hz)	500	5K	50K	500K	5M
$N_c=2, l_c=0.27\text{cm}$	$L=0.24 \mu$	$L=0.106\mu$	$L=86.3 \text{ n}$	$L=82.6 \text{ n}$	$L=80.9 \text{ n}$
$N_c=4, l_c=0.7 \text{ cm}$	$L=0.40 \mu$	$L=0.254\mu$	$L=0.230\mu$	$L=0.22 \mu$	$L=0.217\mu$
$N_c=8, l_c=1.2 \text{ cm}$	$L=0.78 \mu$	$L=0.638\mu$	$L=0.601\mu$	$L=0.576\mu$	$L=0.570\mu$
$N_c=16, l_c=2.9\text{cm}$	$L=1.55 \mu$	$L=1.42 \mu$	$L=1.36 \mu$	$L=1.31 \mu$	$L=1.30 \mu$
$N_c=32, l_c=4.8\text{cm}$	$L=3.68 \mu$	$L=3.53 \mu$	$L=3.37 \mu$	$L=3.25 \mu$	$L=3.22 \mu$
$N_c=64, l_c=10.3\text{cm}$	$L=7.12 \mu$	$L=6.96 \mu$	$L=6.66 \mu$	$L=6.43 \mu$	$L=6.35 \mu$

ตารางที่ 3.1 แสดงค่าความเหนี่ยวนำที่วัดได้ของขดลวดเหนี่ยวนำแบบต่างๆ โดยมีความถี่เป็นพารามิเตอร์ (วัดด้วยเครื่อง Impedance Analyzer)

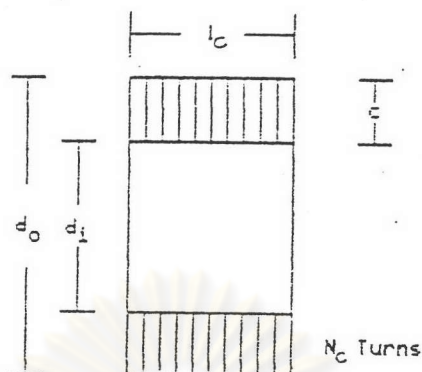
ความถี่ที่ใช้ ขดลวด เหนี่ยวนำ แบบต่างๆ วัด (Hz)	500	5K	50K	500K	5M
$N_c=2, l_c=0.27\text{cm}$	$L=0.359\mu$	$L=0.270\mu$	$L=0.242\mu$	$L=0.233\mu$	$L=0.230\mu$
$N_c=4, l_c=0.7 \text{ cm}$	$L=0.554\mu$	$L=0.416\mu$	$L=0.373\mu$	$L=0.359\mu$	$L=0.355\mu$
$N_c=8, l_c=1.2 \text{ cm}$	$L=1.29 \mu$	$L=0.972\mu$	$L=0.870\mu$	$L=0.837\mu$	$L=0.827\mu$
$N_c=16, l_c=2.9\text{cm}$	$L=2.14 \mu$	$L=1.61 \mu$	$L=1.44 \mu$	$L=1.39 \mu$	$L=1.37 \mu$
$N_c=32, l_c=4.8\text{cm}$	$L=5.18 \mu$	$L=3.89 \mu$	$L=3.48 \mu$	$L=3.35 \mu$	$L=3.31 \mu$
$N_c=64, l_c=10.3\text{cm}$	$L=9.65 \mu$	$L=7.24 \mu$	$L=6.48 \mu$	$L=6.24 \mu$	$L=6.17 \mu$

ตารางที่ 3.2 แสดงค่าความเหนี่ยวนำที่ได้จากการคำนวณ โดยใช้สูตรในสมการที่(3.25) และ

$$(3.28) \quad [L_{n1} = L_c + L_{sn} = \left[ \frac{N_c^2}{l_c} \sqrt{\frac{\mu_0 \rho_c}{\pi f}} \frac{k_r \pi d_c}{2} \right] + \left[ \frac{N_c^2}{l_c} \mu_0 \left( \frac{\pi d_c^2}{4} \right) \right]]$$

หมายเหตุ ขดลวดเหนี่ยวนำมีเส้นผ่านศูนย์กลางภายใน = 1.25 cm., เส้นผ่านศูนย์กลางภายนอก = 1.50 cm.



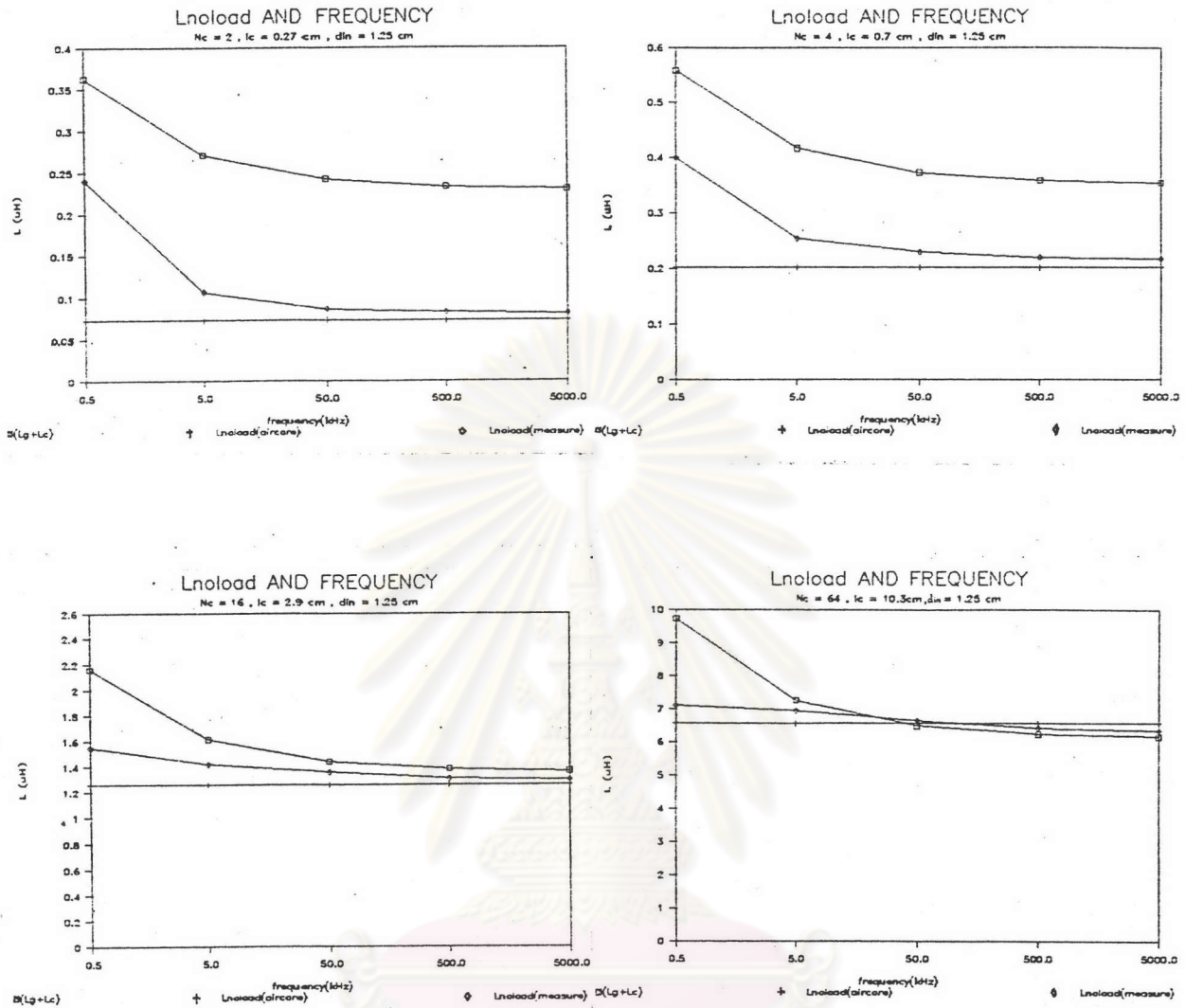


รูปที่ 3.5 แสดงภาพตัดของขดลวดเหนี่ยวนำรูปทรงกระบอก

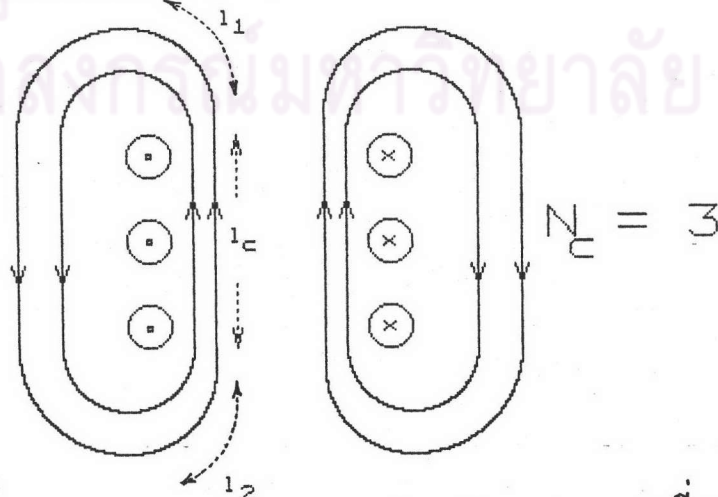
จากสมการที่ (3.29) เมื่อนำมาคำนวณโดยใช้ข้อมูลของขดลวดเดียวกันกับตารางที่ 3.1 แล้วนำค่าที่คำนวณได้มาวาดกราฟกับความถี่แล้วเปรียบเทียบกับค่าที่ได้จากตารางที่ 3.1 และตารางที่ 3.2 ได้ดังรูปที่ 3.6

จากการเปรียบเทียบจะเห็นว่าค่าที่คำนวณจากสมการ (3.29) จะมีค่าใกล้เคียงกับค่าที่วัดได้จริงโดยเฉพาะในช่วงความถี่สูงๆ แต่ค่าที่คำนวณจากสมการนี้จะไม่ขึ้นอยู่กับความถี่ และไม่มีสูตรคำนวณสำหรับกรณีที่มีชิ้นงานภายในขดลวด อีกทั้งยังคำนวณได้เฉพาะค่าความเหนี่ยวนำ ทำให้สมการนี้ยังไม่เหมาะสมที่จะใช้เป็นสมการในการวิเคราะห์ วงจรสมมูลทางไฟฟ้าของขดลวดเหนี่ยวนำและชิ้นงาน แต่สำหรับค่าที่คำนวณจากสมการที่ (3.25)+(3.28) เมื่อเปรียบเทียบกับค่าที่วัดได้จริงจะพบว่า ค่าที่คำนวณจะมากกว่าค่าที่วัดได้โดยเฉพาะเมื่อจำนวนรอบและความยาวของขดลวดมีค่าต่ำ จะทำให้ความแตกต่างที่มีค่ามากขึ้น หรือกล่าวได้ว่า การคำนวณมีความผิดพลาดมากขึ้น ที่เป็นเช่นนั้นเพราะในความเป็นจริงสนามแม่เหล็กที่คล้องผ่านอากาศในขดลวดไม่ได้เป็นอย่างสม่ำเสมอไว้ กล่าวคือ จะมี Magnetic Path Length เพิ่มขึ้นมาจากค่าเดิม ( $l_c$ ) โดยส่วนที่เพิ่มขึ้นจะมาจาก ความยาวส่วนโค้ง  $l_1$  และ  $l_2$  ดังรูปที่ 3.7 Magnetic Path Length ที่เพิ่มขึ้นมานี้ จะทำให้ค่า Reluctance ของวงจรแม่เหล็กมีค่าเพิ่มขึ้น จึงส่งผลให้ค่าความเหนี่ยวนำที่วัดได้มีค่าลดลง ตามสมการที่ (3.34)

$$L = \frac{N^2}{R} = \frac{N^2}{1/\mu A [l_c + l_1 + l_2]} \quad (3.34)$$



รูปที่ 3.6 แสดงกราฟเปรียบเทียบค่าความเหนี่ยวนำที่คำนวณจากสมการ (3.25) + (3.28) และสมการ (3.29)  $L_{\text{no load (aircore)}}$  กับค่าที่วัดได้จริง  $L_{\text{no load (measure)}}$  โดยมีจำนวนรอบ และความยาวของขดลวดเป็นพารามิเตอร์

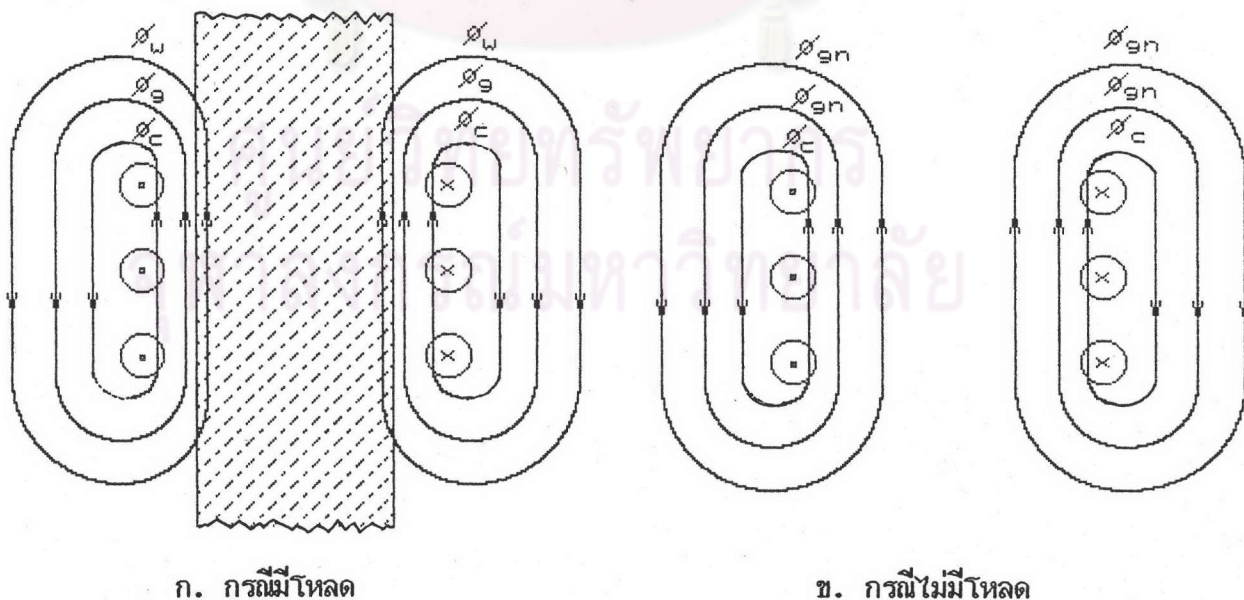


รูปที่ 3.7 แสดง magnetic part length ของขดลวดเหนี่ยวนำ

จากเหตุผลดังกล่าว เมื่อความยาวของขดลวดมีค่ามาก ( $l_c$  มีค่ามาก) ค่า  $l_1$  และ  $l_2$  จะมีความสำคัญน้อยลง จึงทำให้สมมุติฐานในหัวข้อ 3.1 มีความใกล้เคียงมากขึ้น ผลการคำนวณกับการวัดจึงสอดคล้องกัน แต่ในทางกลับกันถ้าความยาวของขดลวดมีค่าน้อย หรือจำนวนรอบต่ำ ( $l_c$  มีค่าต่ำ) ค่า  $l_1$  และ  $l_2$  จะมีผลต่อค่า Reluctance รวมอย่างเห็นได้ชัด ทำให้ผลการคำนวณผิดพลาดมากขึ้น จึงได้พยายามแก้ไขปรับปรุงสูตรต่างๆ ในหัวข้อ 3.1 โดยใช้แนวคิดในเรื่อง Magnetic Path Length ที่เพิ่มขึ้นมาซึ่งจะใช้วิธีเพิ่มค่า Magnetic Path Length ของค่าความเหนี่ยวนำ และค่าความต้านทานของแต่ละส่วนโดยหาค่าคงที่ที่เหมาะสมมาคูณ (Correction Factor) เพื่อปรับให้ค่าที่คำนวณได้แต่ละตัวมีค่าใกล้เคียงกับค่าที่วัดได้จริงมากที่สุด ซึ่งวิธีการปรับมีขั้นตอนดังนี้

1 วัดค่าพารามิเตอร์ต่างๆ ของขดลวดเหนี่ยวนำที่ต้องการศึกษา ซึ่งได้แก่ความเหนี่ยวนำ ( $L_{\Sigma} = L_w + L_{\Sigma} + L_c$ ) , ความต้านทานขณะมีไหลด ( $R_{\Sigma} = R_w + R_c$ ) , ความเหนี่ยวนำขณะไม่มีไหลด ( $L_{n1} = L_c + L_{\Sigma n}$ ) และความต้านทานขณะไม่มีไหลด ( $R_{n1} = R_c$ ) ด้วยเครื่อง Impedance Analyzer โดยวัดที่ความถี่ต่างๆ ในช่วงที่สนใจ

2 Correction Factor ที่ใช้จะต้องคู่กับ Magnetic Path Length ของฟลักซ์ที่สนามแม่เหล็ก แต่ละส่วนซึ่งแยกพิจารณาออกเป็น 4 ส่วน ดังรูปที่ 3.8 จากรูป  $\phi_c$  คือ ฟลักซ์สนามแม่เหล็กที่คล้องผ่านตัวขดลวดเหนี่ยวนำ  $\phi_{\Sigma}$  คือ ฟลักซ์สนามแม่เหล็กที่คล้องผ่านช่องว่างอากาศระหว่างขดลวดกับชิ้นงาน  $\phi_{gn}$  คือ ฟลักซ์สนามแม่เหล็กที่คล้องผ่านชิ้นงาน



รูปที่ 3.8 แสดงฟลักซ์ของสนามแม่เหล็กที่คล้องผ่านส่วนต่างๆ

ส่วน  $\mu_{gn}$  คือ ฟลักซ์สนามแม่เหล็กที่คล้อยผ่านช่องว่างอากาศในขดลวดเมื่อไม่มีโหนด ดังนั้น  
Correction Factor ที่คู่กับฟลักซ์สนามแม่เหล็กแต่ละส่วน นิยามไว้ดังนี้

$K_c$  สำหรับ Magnetic Path Length ของ  $\mu_c$

$K_g$  สำหรับ Magnetic Path Length ของ  $\mu_g$

$K_w$  สำหรับ Magnetic Path Length ของ  $\mu_w$

$K_{gn}$  สำหรับ Magnetic Path Length ของ  $\mu_{gn}$

3 แทนค่า Correction Factor ทุกตัวในสมการ (3.23) - (3.28) ได้ดังนี้

$$R_c' = \frac{\pi^2 N_c^2}{(K_c l_c)} \sqrt{\frac{\mu_o \rho_c f}{\pi}} k_r d_c \quad (3.30)$$

$$R_w' = \frac{4\pi N_c^2}{(K_w l_c)} \sqrt{\frac{\mu_o \mu_r \rho_w f}{\pi}} \frac{A_w}{d_w} \quad (3.31)$$

$$L_c' = \frac{N_c^2}{(K_c l_c)} \sqrt{\frac{\mu_o \rho_c}{\pi f}} \frac{k_r \pi d_c}{2} \quad (3.32)$$

$$L_w' = 2 \frac{N_c^2}{(K_w l_c)} \sqrt{\frac{\mu_r \mu_o \rho_w}{\pi f}} \frac{A_w}{d_w} \quad (3.33)$$

$$L_g' = \frac{N_c^2 \mu_o A_g}{(K_g l_c)} \quad (3.34)$$

$$L_{gn}' = \frac{N_c^2 \mu_o}{(K_{gn} l_c)} \left( \frac{\pi d_c^2}{4} \right) \quad (3.35)$$

4 ทดลองหาค่า  $K_c$  ในสมการที่ (3.30) เพื่อปรับให้  $R_c'$  มีค่าใกล้เคียงกับความต้านทานขณะไม่มีโหนดที่วัดได้ ( $R_{n1}$ ) โดยปรับให้ได้ค่าใกล้เคียงสำหรับทุกๆ ความถี่ จากนั้นแทนค่า  $K_c$  ที่ได้ในสมการ (3.32) แล้วทดลองหาค่า  $K_{gn}$  ในสมการที่ (3.35) เพื่อปรับให้  $L_c' + L_{gn}'$  มีค่าใกล้เคียงกับความเหนี่ยวนำขณะไม่มีโหนดที่วัดได้ ( $L_{n1}$ ) โดยปรับให้ได้ค่าใกล้เคียงสำหรับทุกๆ ความถี่ จากนั้นจึงทดลองหาค่า  $K_w$  ในสมการที่ (3.31) เพื่อปรับให้  $R_w' + R_c'$  มีค่าใกล้เคียงกับความต้านทานขณะมีโหนดที่วัดได้ ( $R_u$ ) สำหรับทุกๆ ความถี่ จากนั้นแทนค่า  $K_w$  ที่ได้ในสมการ (3.33) แล้วจึงทดลองหาค่า  $K_g$  ในสมการที่ (3.34) เพื่อปรับให้  $L_w' + L_g' + L_c'$  มีค่าใกล้เคียงกับความเหนี่ยวนำขณะมีโหนด ( $L_u$ ) สำหรับทุกๆ ความถี่

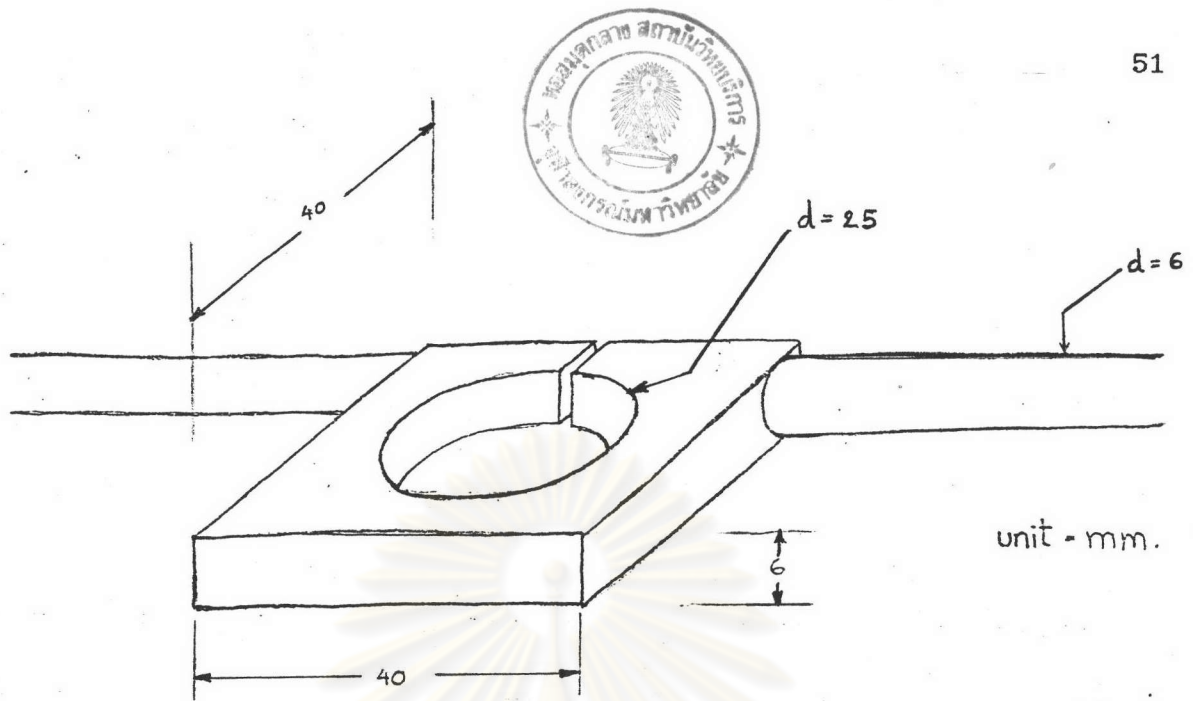
หลังจากที่ได้ค่า Correction Factor ทั้ง 4 แล้ว จากสมการที่ (3.30) ถึง (3.35) ก็จะเป็นสมการที่ใช้แทนสมการเดิม (3.23 - 3.28) ทำให้สามารถใช้สมการเหล่านี้ในการวิเคราะห์วงจรไฟฟ้าของขดลวดเหนี่ยวนำและชิ้นงาน เพื่อออกแบบและสร้างเครื่องให้ความร้อนแบบเหนี่ยวนำต่อไป ซึ่งการใช้สมการเหล่านี้วิเคราะห์จะทำให้การศึกษาค้นคว้าเปลี่ยนแปลงตัวแปรต่างๆ โดยเฉพาะในเชิงความถี่ทำได้ง่าย และมีประสิทธิภาพขึ้น

### 3.3 การใช้โปรแกรม MathCAD เพื่อช่วยวิเคราะห์ทางจลน์ศาสตร์

จากการคำนวณหาค่า Correction Factor ในหัวข้อที่แล้วต้องอาศัยการทดลอง ลุ่มแทนค่าแล้วเปรียบเทียบกับค่าที่วัดได้จริง ซึ่งในตอนนี้เป็นขั้นตอนที่มีสูตรการคำนวณที่ยาก ซับซ้อนและต้องทำงานเดิมซ้ำหลายๆ ครั้ง ดังนั้นเพื่อความสะดวกในการหาค่าคงที่และการวิเคราะห์หรือออกแบบต่อไป จึงได้ใช้โปรแกรม MathCAD (MathSoft, Inc, 1989) ช่วยในการคำนวณ วิเคราะห์และวาดกราฟแสดงความสัมพันธ์ของตัวแปรและพารามิเตอร์ต่างๆ ที่เป็นประโยชน์ในการออกแบบซึ่งได้แก่ กำลังที่ชิ้นงาน, กระแสในตัวเหนี่ยวนำ, เฟสของกระแสในตัวเหนี่ยวนำ, แรงดันที่ขดลวดเหนี่ยวนำ และตัวประกอบกำลังของขดลวดเหนี่ยวนำ เป็นต้นซึ่งรายละเอียดของโปรแกรมได้แสดงไว้ในภาคผนวก และจะกล่าวซ้ำอีกครั้งในหัวข้อการออกแบบขดลวดเหนี่ยวนำ

### 3.4 การออกแบบขดลวดเหนี่ยวนำ

ขดลวดเหนี่ยวนำหรือขดลวดให้ความร้อนก็คือตัวที่สร้างสนามแม่เหล็กไปเหนี่ยวนำให้เกิดความร้อนขึ้นที่ชิ้นงาน ซึ่งการออกแบบรูปร่าง ขนาด หรือจำนวนรอบ ขึ้นอยู่กับปัจจัยหลายๆ ประการ อย่างเช่น ขึ้นอยู่กับรูปร่างและขนาดของชิ้นงาน ขึ้นอยู่กับกำลังสูงสุดของเครื่อง เป็นต้น สำหรับขดลวดเหนี่ยวนำที่ใช้ในงานวิจัยนี้ ออกแบบโดยมีจุดประสงค์ให้ใช้กับชิ้นงานที่เป็นทรงกระบอกมีเส้นผ่านศูนย์กลางประมาณ 2.2 ซม. และเนื่องจากกำลังสูงสุดของเครื่องที่จะจ่ายให้กับตัวขดลวดมีปริมาณจำกัด และเพื่อให้ชิ้นงานได้รับความร้อนอย่างรวดเร็ว จึงได้ออกแบบให้ขดลวดเหนี่ยวนำมีความสูงของขดลวดเพียงเล็กน้อย ดังนั้นจึงได้เลือกให้จำนวนรอบของขดลวดเป็น 1 รอบและมีความสูง ( $l_c$ ) เท่ากับ 6 มม. ทั้งนี้เพื่อให้ปริมาณความหนาแน่นกำลังต่อพื้นที่ผิวมีค่าสูงที่สุด ความลึกผิวจะได้ออกค่าต่ำซึ่งเป็นประโยชน์ในการชุบแข็งผิว ทั้งนี้เพราะความถี่ที่ใช้ในการเหนี่ยวนำมีค่าไม่สูงนัก จึงต้องเน้นที่ปริมาณความหนาแน่นกำลังต่อพื้นที่ผิวให้มากที่สุด ขดลวดเหนี่ยวนำที่ได้ออกแบบไว้แสดงไว้ในรูปที่ 3.9



รูปที่ 3.9 แสดงขดลวดเหนี่ยวนำพร้อมทั้งสัดส่วน

ขดลวดเหนี่ยวนำที่สร้างขึ้นนี้ได้ออกแบบไว้ให้น้ำไหลผ่านรอบๆ ตัวขดลวดเพื่อช่วยระบายความร้อนที่เกิดจากกำลังสูญเสียในทองแดง (Copper Loss) และความร้อนที่แผ่รังสีมาจากชิ้นงาน ความร้อนเหล่านี้มีปริมาณไม่น้อยคือประมาณ 20% ของกำลังออกสูงสุดของเครื่อง ดังนั้นการออกแบบขดลวดเหนี่ยวนำจึงสร้างจากทองแดงเพื่อให้กระแสปริมาณมากไหลได้สะดวกและเพื่อความแข็งแรง ส่วนรูตรงกลางสำหรับใส่ชิ้นงานคว้านให้มีเส้นผ่านศูนย์กลางเท่ากับ 25 มม. พร้อมทั้งเจาะรูให้น้ำไหลผ่านโดยรอบ ส่วนทางเข้าของกระแสด้านในใช้เลื่อยฉลุทำให้แยกออกจากกันเป็นร่องแคบๆ เพื่อลดค่าความเหนี่ยวนำที่ไม่ต้องการ

จากขดลวดเหนี่ยวนำที่สร้างขึ้นเมื่อนำไปวัดค่าความเหนี่ยวนำและความต้านทานด้วยเครื่อง Impedance Analyzer โดยวัดที่ความถี่ 30 kHz และ 50 kHz โดยวัดทั้งกรณีที่มีโหลด (มีชิ้นงานภายในขดลวด) และไม่มีโหลด ได้ผลดังนี้

ข้อมูลเบื้องต้นก่อนทำการวัด

- ชิ้นงานเป็นเหล็กผสมคาร์บอน 0.4% ทรงกระบอกตันขนาดเส้นผ่านศูนย์กลาง ( $d_w$ ) 22 มม.
- ขดลวดเหนี่ยวนำมีเส้นผ่านศูนย์กลางภายใน ( $d_c$ ) 25.3 มม. จำนวนรอบ 1 รอบ ความสูงของขดลวด 6.2 มม.
- วัดแบบอนุกรม

วัดที่ความถี่ 30 kHz

## กรณีไม่มีโหลด

$$\begin{aligned} \text{ความต้านทาน } (R_{n1}) &= 0.10 \text{ มิลลิโอห์ม} \\ \text{ความเหนี่ยวนำ } (L_{n1}) &= 24.8 \text{ นาโนเฮนรี} \end{aligned}$$

## กรณีมีโหลด

$$\begin{aligned} \text{ความต้านทาน } (R_u) &= 2.10 \text{ มิลลิโอห์ม} \\ \text{ความเหนี่ยวนำ } (L_u) &= 29.8 \text{ นาโนเฮนรี} \end{aligned}$$

วัดที่ความถี่ 50 kHz

## กรณีไม่มีโหลด

$$\begin{aligned} \text{ความต้านทาน } (R_{n1}) &= 0.20 \text{ มิลลิโอห์ม} \\ \text{ความเหนี่ยวนำ } (L_{n1}) &= 24.7 \text{ นาโนเฮนรี} \end{aligned}$$

## กรณีมีโหลด

$$\begin{aligned} \text{ความต้านทาน } (R_s) &= 3.00 \text{ มิลลิโอห์ม} \\ \text{ความเหนี่ยวนำ } (L_u) &= 26.8 \text{ นาโนเฮนรี} \end{aligned}$$

จากข้อมูลเบื้องต้นเมื่อดำเนินการหาจรรยาบรรณทางไฟฟ้า โดยใช้สมการ (3.23) ถึง สมการ (3.28) (ในเชิงอุดมคติ) ได้ค่าพารามิเตอร์ต่างๆ ดังนี้

คำนวณที่ความถี่ 30 kHz

$$\begin{aligned} R_c &= 0.579 \text{ มิลลิโอห์ม} , R_w = 4.61 \text{ มิลลิโอห์ม} , L_c = 3.07 \text{ นาโนเฮนรี} \\ L_w &= 25.0 \text{ นาโนเฮนรี} , L_u = 24.9 \text{ นาโนเฮนรี} , L_{zn} = 102 \text{ นาโนเฮนรี} \end{aligned}$$

คิดเป็นกรณีไม่มีโหลด

$$\text{ความต้านทาน } (R_{n1}=R_c) = 0.579 \text{ มิลลิโอห์ม}$$

$$\text{ความเหนี่ยวนำ } (L_{n1}=L_c+L_{gn}) = 105 \text{ นาโนเฮนรี}$$

คิดเป็นกรณีมีโหลด

$$\text{ความต้านทาน } (R_{\Sigma}=R_w+R_c) = 5.19 \text{ มิลลิโอห์ม}$$

$$\text{ความเหนี่ยวนำ } (L_{\Sigma}=L_w+L_g+L_c) = 52.9 \text{ นาโนเฮนรี}$$

คำนวณที่ความถี่ 50 kHz

$$R_c = 0.748 \text{ มิลลิโอห์ม} , R_w = 5.98 \text{ มิลลิโอห์ม} , L_c = 2.38 \text{ นาโนเฮนรี}$$

$$L_w = 19.3 \text{ นาโนเฮนรี} , L_g = 24.9 \text{ นาโนเฮนรี} , L_{gn} = 102 \text{ นาโนเฮนรี}$$

คิดเป็นกรณีไม่มีโหลด

$$\text{ความต้านทาน } (R_{n1}=R_c) = 0.748 \text{ มิลลิโอห์ม}$$

$$\text{ความเหนี่ยวนำ } (L_{n1}=L_c+L_{gn}) = 104 \text{ นาโนเฮนรี}$$

คิดเป็นกรณีมีโหลด

$$\text{ความต้านทาน } (R_{\Sigma}=R_w+R_c) = 6.72 \text{ มิลลิโอห์ม}$$

$$\text{ความเหนี่ยวนำ } (L_{\Sigma}=L_w+L_g+L_c) = 46.6 \text{ นาโนเฮนรี}$$

เมื่อเปรียบเทียบค่าที่คำนวณโดยใช้สมการในเชิงอุดมคติกับค่าที่วัดได้จริง จะเห็นว่า มีค่าผิดพลาดโดยที่ค่าคำนวณ จะมีค่ามากกว่าค่าที่วัดได้ ซึ่งเหตุผลได้อธิบายไว้ในหัวข้อที่แล้ว ดังนั้นจึงใช้การวิเคราะห์วงจรสมมูลแบบใช้ Correction Factor เพื่อปรับให้สมการเหล่านี้คำนวณได้ใกล้เคียงมากขึ้น ซึ่งในที่นี้จะขอยกตัวอย่างการคำนวณโดยใช้โปรแกรม Math CAD (MathSoft, Inc, 1989) โดยจะนำมาช่วยในการทดลองสุ่มแทนค่าหา Correction Factor และคำนวณหาพารามิเตอร์ที่สำคัญ ดังต่อไปนี้



\*\*\*\*\*  
 Induction Heating Coil Calculation  
 \*\*\*\*\*

Constant  $\mu_0 := 4 \cdot \pi \cdot 10^{-7}$

Running variable

$T := 20$  ,  $i := 30,50 \cdot 10^3$   
 $\rho_{wT} := 16 \cdot 10^{-8}$  ,  $f(i) := i \cdot 10^{-3}$   
 $\mu_{rT} := 9.4$

Coil dimension and parameters

$N_c := 1$  ,  $l_c := 6.2 \cdot 10^{-3}$  ,  $d_c := 25.3 \cdot 10^{-3}$  ,  $k_r := 1$  ,  $T_c := 20$  ,  
 $\rho_{cu} := 1.7240 \cdot 10^{-8} (1 + 0.00393 (T_c - 20))$  ,  $\rho_{cu} = 1.724 \cdot 10^{-8}$

$$\delta_{cu}(i) := \frac{\rho_{cu}}{\mu_0 \cdot \pi \cdot f(i)}$$

Work dimension and parameters

$$d_w := 22 \cdot 10^{-3} , \quad A_w := \frac{\pi \cdot d_w^2}{4} , \quad \delta_w(i) := \frac{\rho_{wT}}{\mu_0 \mu_{rT} \pi \cdot f(i)}$$

$$A_g := \frac{\pi}{4} [d_c^2 - d_w^2] , \quad A_{nl} := \frac{\pi \cdot d_c^2}{4} , \quad p(i) := \frac{2}{1.23 + \left[ \frac{d_w}{\delta_w(i)} \right]}$$

$$q(i) := 2 \cdot \frac{\delta_w(i)}{d_w}$$

Correction factor (By trial and error)

- 1  $K_c := 3.7$  ; Correction factor for coil
- 2  $K_{gn} := 4.24$  ; Correction factor for no load air gap
- 3  $K_w := 2.17$  ; Correction factor for workpiece
- 4  $K_g := 1.44$  ; Correction factor for air gap (full load)

Electrical equivalent circuit parameters of coil

$$R_c(i) := \left[ \frac{2 \cdot \pi \cdot f(i) \cdot \mu_0 \cdot N_c^2}{K_c \cdot l_c} \right] \cdot \frac{k_r \cdot \pi \cdot d_c \cdot \delta_{cu}(i)}{2}$$

$$R_w(i) := \left[ \frac{2 \cdot \pi \cdot f(i) \cdot \mu_0 \cdot N_c^2}{K_w \cdot l_c} \right] \cdot \left[ \frac{\mu_r \cdot p(i) \cdot A_w}{T} \right]$$

$$L_c(i) := \frac{R_c(i)}{2 \cdot \pi \cdot f(i)}, \quad L_w(i) := \frac{\mu_0 \cdot \mu_r \cdot N_c^2 \cdot q(i) \cdot A_w}{K_w \cdot l_c \cdot T}$$

$$L_g := \frac{\mu_0 \cdot N_c^2 \cdot A_g}{K_g \cdot l_c}, \quad L_{gn} := \frac{\mu_0 \cdot N_c^2 \cdot A_{nl}}{K_{gn} \cdot l_c}$$

$$R_{nl}(i) := R_c(i)$$

> Noload condition

$$L_{nl}(i) := L_{gn} + L_c(i)$$

$$R_s(i) := R_w(i) + R_c(i)$$

> Fullload condition

$$L_s(i) := L_w(i) + L_g + L_c(i)$$

R <sub>nl</sub> (i)	
	-4
1.566 · 10	
	-4
2.021 · 10	

; aT frequency 30 kHz ;

; aT frequency 50 kHz ;

L <sub>nl</sub> (i)	
	-8
2.486 · 10	
	-8
2.468 · 10	

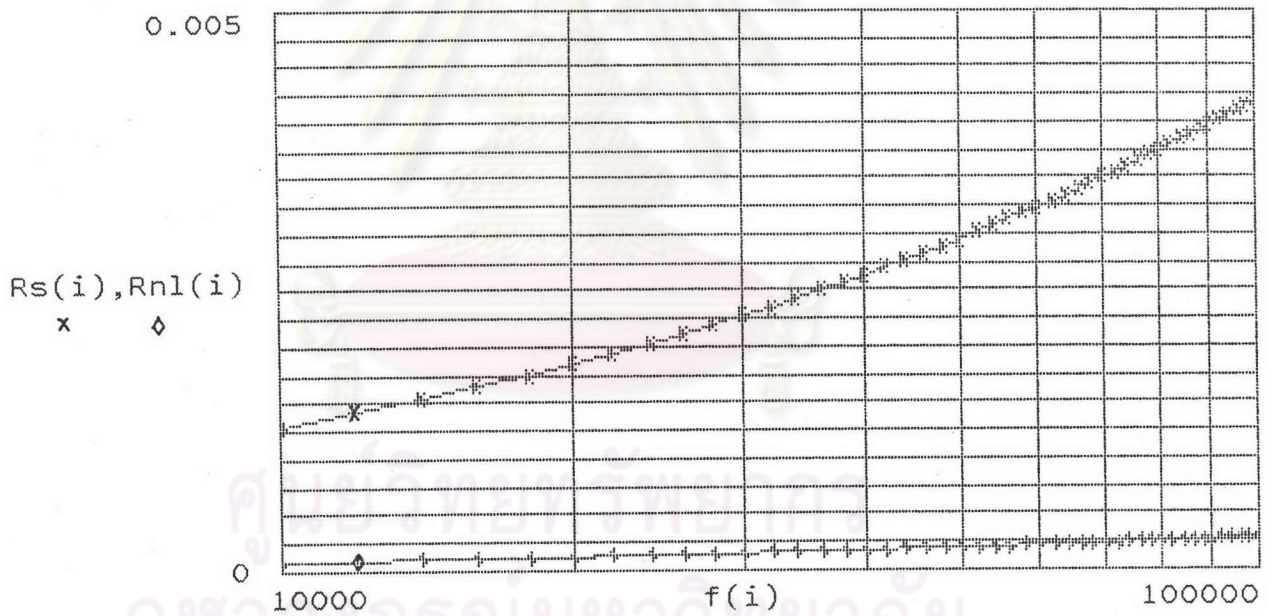
R <sub>s</sub> (i)	
	-3
2.28 · 10	
	-3
2.956 · 10	

; aT frequency 30 kHz ;

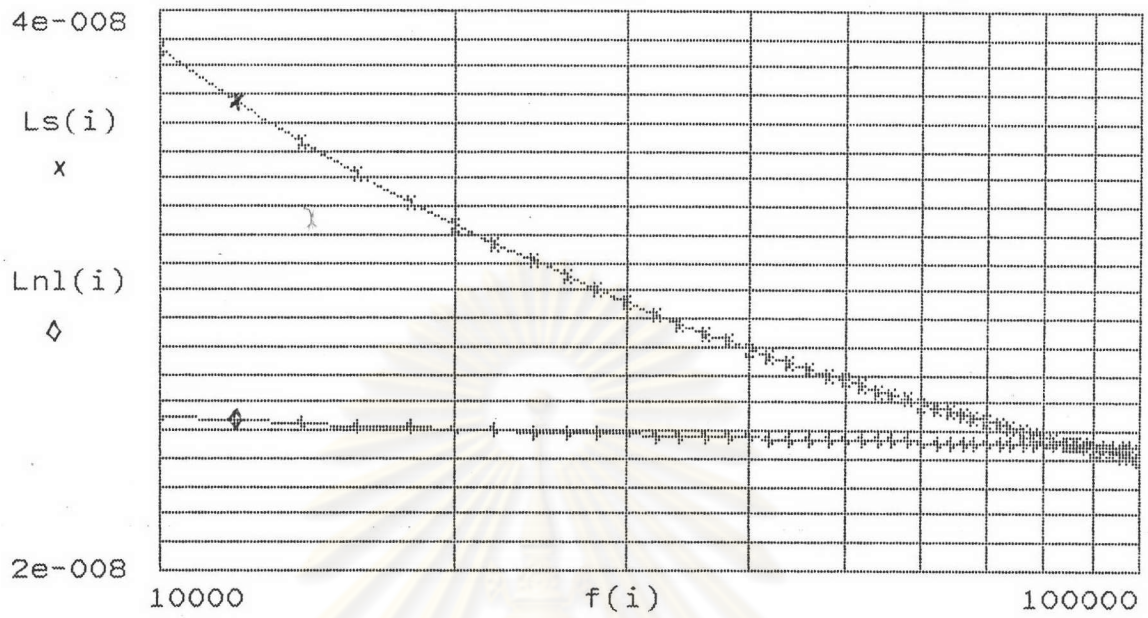
; aT frequency 50 kHz ;

L <sub>s</sub> (i)	
	-8
2.959 · 10	
	-8
2.681 · 10	

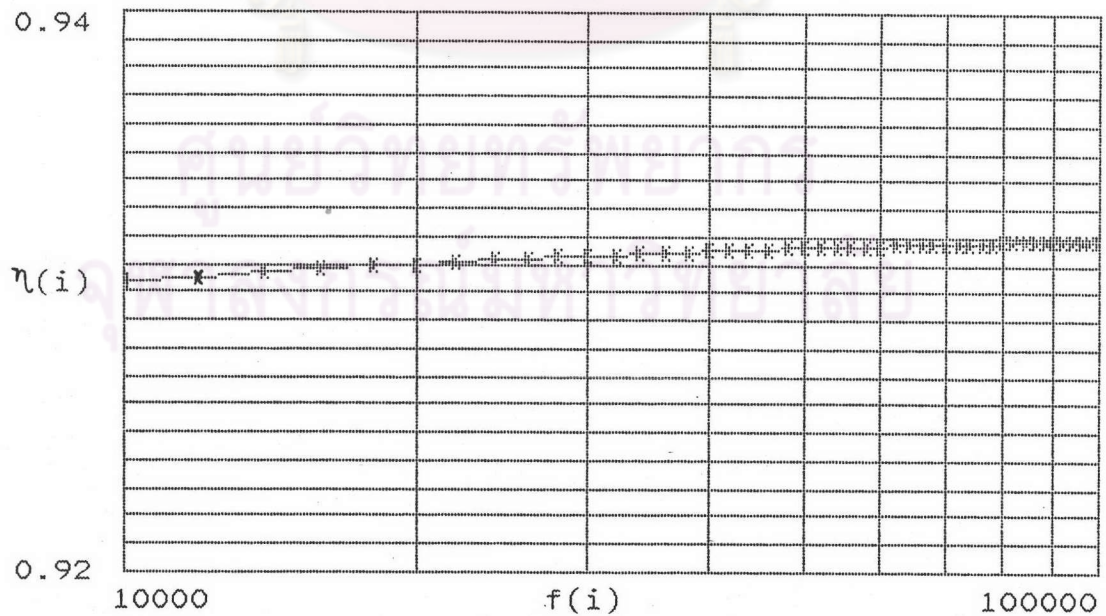
จากค่าพารามิเตอร์ที่คำนวณได้หลังจากปรับสมการแล้ว (จากตัวอย่างการคำนวณโดยโปรแกรม (MCAD) จะเห็นว่าได้ค่าที่ใกล้เคียงกับค่าที่วัดได้จริงทุกค่าถึงแม้ว่าจะเปรียบเทียบที่ความถี่ต่าง ๆ ทำให้สามารถศึกษาและวิเคราะห์ผลของการเปลี่ยนแปลงตัวแปรต่าง ๆ ไม่ว่าจะเป็นอุณหภูมิ สภาพความต้านทาน ความชื้นซาบ และโดยเฉพาะในโดเมนของความถี่ อีกทั้งยังนำไปช่วยในการออกแบบ ตัวเหนี่ยวนำที่ต่ออนุกรมกับหม้อแปลง ความต้านทานที่ช่วยหน่วงวงจร และตัวเก็บประจุที่ใช้กับตัวประกอบกำลัง เป็นต้น ซึ่งการออกแบบค่าเหล่านี้จะกล่าวถึงอีกทีในบทถัดไป สำหรับตอนนี้จะคำนวณค่าพารามิเตอร์ที่สำคัญ ๆ ของขดลวดเหนี่ยวนำแล้ววาดกราฟเทียบกับความถี่ เช่น ความต้านทานของขดลวดอนุกรมขณะมีโหลดและไม่มีโหลด, ความเหนี่ยวนำอนุกรมของขดลวดขณะมีโหลดและไม่มีโหลด, ประสิทธิภาพของขดลวดเหนี่ยวนำ และตัวประกอบกำลังขณะมีโหลดและไม่มีโหลด ดังแสดงในรูปที่ 3.10 - 3.13



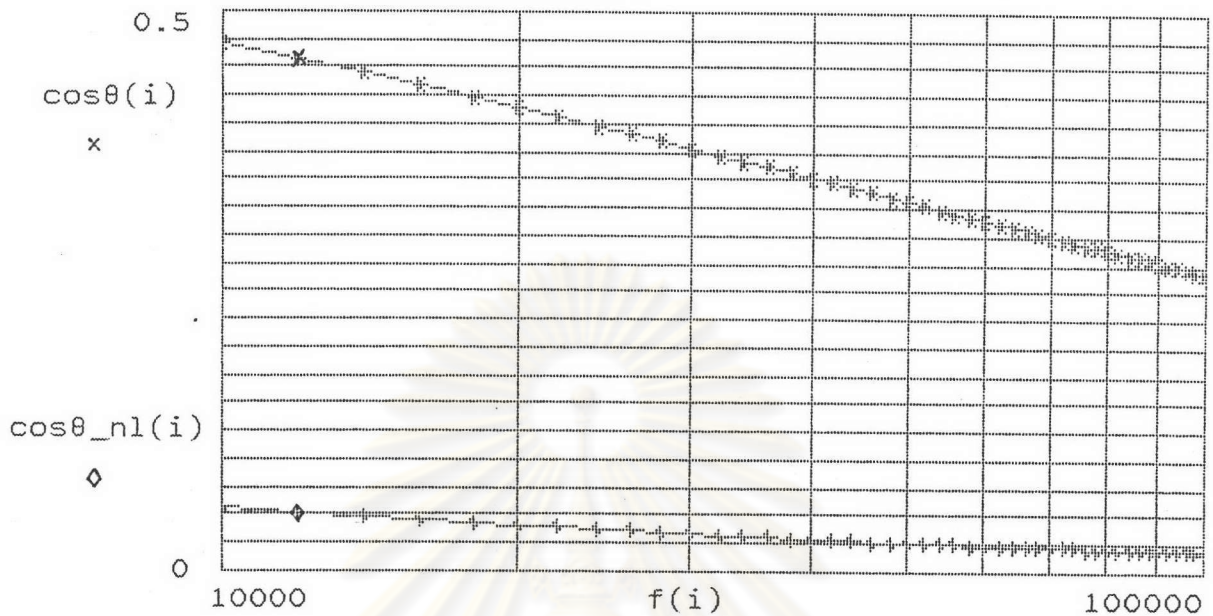
รูปที่ 3.10 แสดงค่าความต้านทานอนุกรมกรณีมีโหลด( $R_s$ ) และ กรณีไม่มีโหลด( $R_{nl}$ ) ของขดลวดเหนี่ยวนำกับความถี่



รูปที่ 3.11 แสดงค่าความเที่ยงน้าอนุกรมกรณี่มีโหลด(Ls) และกรณี่ไม่มีโหลด(Ln1) ของชดลวดเหนี่ยวนำกับความถี่



รูปที่ 3.12 แสดงค่าประสิทธิภาพของชดลวดเหนี่ยวนำกับความถี่



รูปที่ 3.13 แสดงค่าตัวประกอบกำลังกรณีสี่โหลด ( $\cos\theta$ ) และกรณีสี่ไม่มีโหลด ( $\cos\theta_{n1}$ ) ของขดลวดเหนี่ยวนำกับความถี่

ผลการคำนวณค่าพารามิเตอร์ของขดลวดเหนี่ยวนำที่ความถี่ต่าง ๆ เป็นการคำนวณโดยใช้สูตรที่ปรับด้วยค่า Correction Factor แล้ว ซึ่งสามารถทำนายค่าพารามิเตอร์ต่างๆ ในช่วงความถี่ใด ๆ ที่สนใจ (ในที่นี้คือช่วงความถี่ 30-50 กิโลเฮิร์ตซ์) แต่การได้มาของสูตรนี้เกิดจากการนำค่าที่วัดจริงที่ความถี่ต้นและความถี่ปลาย (30 และ 50 กิโลเฮิร์ตซ์) มาใช้ในการหาซึ่งการวัดอาจจะมีค่าผิดพลาดบ้าง โดยเฉพาะการวัดค่าความต้านทานกรณีสี่ไม่มีโหลด ( $R_{n1}$ ) ซึ่งมีค่าต่ำมากเมื่อเทียบกับกรณีสี่โหลด อย่างไรก็ตามในบทที่ 5 จะกล่าวถึง การทดสอบการวัดประสิทธิภาพของขดลวดเหนี่ยวนำ แล้วนำมาเปรียบเทียบกับผลการคำนวณประสิทธิภาพของขดลวดเหนี่ยวนำโดยใช้สูตรนี้อีกครั้งหนึ่ง